

EL NIÑO OSCILACIÓN DEL SUR (ENOS)

-09 de marzo de 2016-

Condiciones actuales

De acuerdo al Instituto Internacional de Investigación sobre el Clima y Sociedad (IRI, por sus siglas en inglés), la mayoría de modelos dinámicos y estadísticos corridos para finales de febrero coinciden en el mantenimiento del presente fenómeno El Niño (figura 1). La mayoría de modelos dinámicos y estadísticos corridos hacia finales de enero y principios de febrero del 2016, proyectan un debilitamiento del fenómeno de El Niño. Sin embargo el presente fenómeno aún permanecerá con categoría de fuerte hasta mediados de abril. Las probabilidades de retornar a condiciones normales empiezan a crecer a partir de mayo, aunque las probabilidades de El Niño se mantienen alrededor de 50% para la temporada abril-junio del presente año (IRI, 2016).

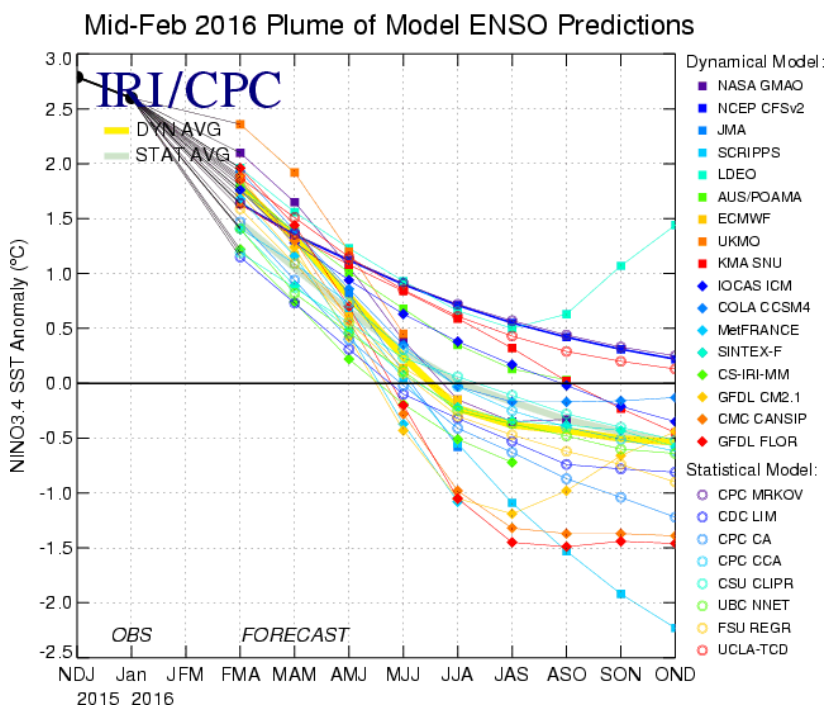


Figura 1. Proyecciones del comportamiento ENOS para el primer semestre e inicios del segundo semestre del 2016.

Fuente: (IRI, 2016)

Para mediados de febrero la temperatura de la superficie del mar (TSM) en la región El Niño 3.4, mostró registró anomalías de 2.5 °C, reflejando que para ese momento aún se mantenían las

condiciones de El Niño fuerte. Todas las variables atmosféricas reflejan que El Niño, incluyendo anomalías en los vientos y el Índice de Oscilación del Sur (SOI por sus siglas en inglés). Basados en los promedios de proyecciones multi-modelos (figura 1), a continuación se presentan las probabilidades en porcentajes para las siguientes 9 temporadas:

Cuadro 1. Distribución de probabilidades de ocurrencia de eventos de El Niño-Oscilación del Sur (ENOS), para el año 2016 en base a los modelos dinámicos y estadísticos del IRI/CPC.

Temporada	La Niña	Neutral	El Niño
FMA 2016	~0%	~0%	100%
MAM 2016	~0%	1%	99%
AMJ 2016	~0%	23%	77%
MJJ 2016	6%	62%	32%
JJA 2016	29%	56%	15%
JAS 2016	39%	48%	13%
ASO 2016	45%	41%	14%
SON 2016	49%	36%	15%
OND 2016	51%	32%	17%

Referencia: FMA: febrero-marzo-abril; MAM: marzo-abril-mayo; AMJ: abril-mayo-junio; MJJ: mayo-junio-julio; JJA: junio-julio-agosto; JAS: julio-agosto-septiembre; ASO: agosto-septiembre-octubre; SON: septiembre-octubre-noviembre; OND: octubre-noviembre-diciembre

Fuente: IRI (2016)

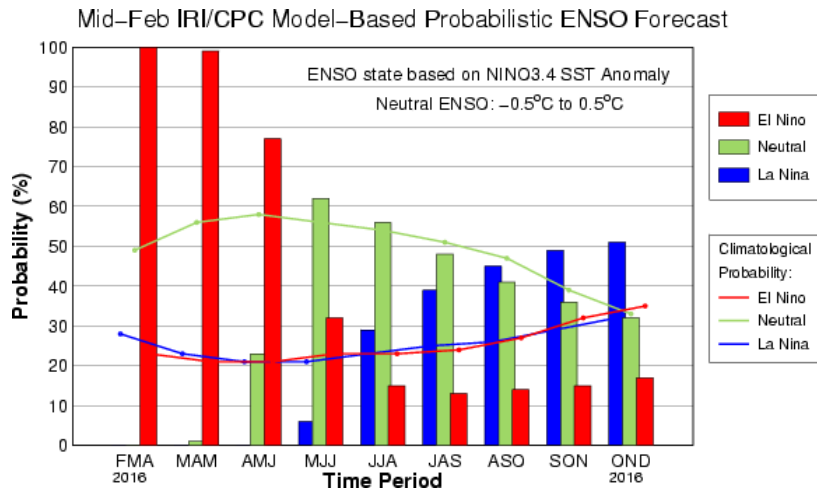


Figura 2. Grafica de probabilidades en porcentaje del fenómeno ENOS para el año 2016

Referencia: NDJ: noviembre-diciembre-enero; DJF: diciembre-enero-febrero; JFM: enero-febrero-marzo; FMA: febrero-marzo-abril; MAM: marzo-abril-mayo; AMJ: abril-mayo-junio; MJJ: mayo-junio-julio; JJA: junio-julio-agosto; JAS: julio-agosto-septiembre

Fuente: IRI (2016)

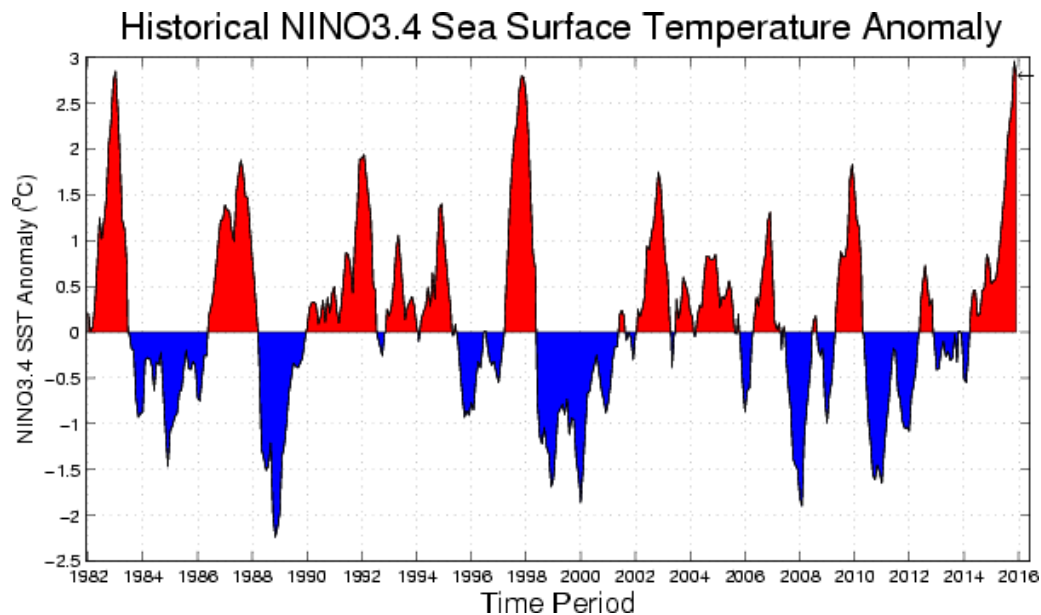


Figura 3. Registro histórico de las anomalías en la Temperatura Superficial del Mar

Fuente: Fuente: IRI (2016)

Posibles impactos para la zona de la Costa Sur de Guatemala

De acuerdo a las proyecciones del INSIVUMEH, se espera que temporada de lluvias se retrase, estableciéndose alrededor de la tercera semana de abril y última de mayo para la Boca Costa y el litoral Pacífico de Guatemala respectivamente (INSIVUMEH, 2016).

Notas explicativas

La información base para la elaboración del presente boletín es emitida por el Instituto Internacional de Investigación sobre el Clima y Sociedad (IRI, por sus siglas en inglés), y está basada en modelos dinámicos y estadísticos que estiman el comportamiento ENOS para valores de anomalía de la temperatura superficial del mar del Índice El Niño 3.4.

La información presentada en el presente boletín se actualiza mensualmente a partir de observaciones hechas para tres meses, por lo tanto, pueden darse cambios en los valores de estimación de acuerdo a los valores observados.

Referencias

IRI, 2016. El Niño/Southern Oscillation (ENSO) Diagnostic Discussion [WWW Document]. Clim. Predict. Cent. -CPC-. URL <http://iri.columbia.edu/our-expertise/climate/forecasts/enso/current/> (accesado 09.03.2016).

INSIVUMEH, 2016. Análisis meteorológico del mes de abril [Documento WWW]. URL http://www.insivumeh.gob.gt/meteorologia/climaticos/climatico_m_06052015.pdf (accesado 09.03.2016).